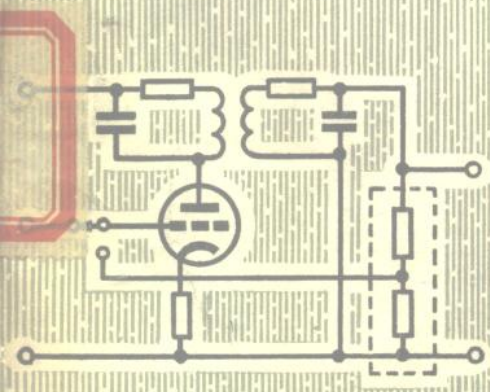


自激式 测量电路

苏联 B. A. 德文斯基赫著
于冠生译
东生校



人民邮电出版社

72.452
780

自 激 式 测 量 电 路

苏联 B. A. 德文斯基赫 著

于 冠 生 译

东 生 校

人民邮电出版社

В. А. ДВИНСКИХ
ИЗМЕРИТЕЛЬНЫЕ СХЕМЫ С САМОВОЗБУЖДЕНИЕМ
ГОСЭНЕРГОИЗДАТ 1962

内 容 提 要

这本小册子介绍不使用信号发生器，而在放大器的输出和输入之间接入适当的反馈网络使放大器产生自激振荡，再根据反馈网络的参数算出放大系数的自激式测量电路。这种电路可以用来测量电子管和晶体管的参数，无线电元件的数值，并进行自动分拣。书中叙述了它的工作原理、各种应用和测量误差。

本小册子适合无线电测量人员、无线电元件检验人员、大专院校教学无线电测量的师生以及无线电爱好者阅读。

自 激 式 测 量 电 路

著者：苏联 B. A. 德文斯基赫
译者：于冠生
校者：东生
出版者：人民邮电出版社

北京东四6条19号

(北京市书刊出版业营业许可证字第〇四八号)

印刷者：北京市印刷一厂
发行者：新华书店北京发行所
经售者：各地新华书店

开本 787×1092 1/32 1965年10月北京第一版
印张 1 12/32 页数 22 1965年10月北京第一次印刷
印刷字数 32,000 字 印数 1—5,700 册

统一书号：15045·总1516—无440

定价：(斜6) 0.20 元

前　　言

目前广泛利用有标准信号发生器的测量电路来测量 电 路 的 参 数。利用这种电路进行测量十分简单。仅在测量小信号时才显得有些复杂。然而在許多测量中可应用自激式测量电路[参考文献 1—6]。

当测量准綫性放大器参数时，应用自激式电路特別有效。在这情况下，可以采用移相分压器作为附加电路。

测量象电容器和电感綫圈之类的电路元件的参数时，附加电路中必須包括放大器。这种用途的电路恰巧就是文献中熟知的自激振蕩器电路。顾名思义，当电路的各个元件参数达到完全确定的量值时，自激式电路中即激励振蕩，这对自动电路來說是很有价值的。

对上述电路的测量誤差所进行的估計表明，它們可以用在相当精密的装置中。

除了直接用于测量外，自激式电路的构成原理尙可用来校准測量放大器，用来鑑定自动調整系統的质量[参考文献 7]以及研究順磁共振的頻譜[参考文献 8]。

目 录

前 言

第一章	自激式测量电路	(1)
1.	自激式电路的实质	(1)
2.	基本关系式	(2)
3.	稳定自激振荡区域	(2)
第二章	准綫性放大器参数的測量	(4)
4.	电子管准綫性放大器	(4)
5.	行波管准綫性放大器	(10)
第三章	元件和电路参数的測量	(15)
6.	将电路接入自激振荡器而測量該电路的参数的电路	(15)
7.	桥式电路	(16)
8.	变頻式电路	(19)
第四章	自动测量电路	(22)
9.	使用交流的废品自动剔出电路	(22)
10.	自动桥式电路	(24)
11.	測量电子管参数的自动电路	(26)
12.	測量晶体管参数的自动电路	(30)
第五章	測量誤差	(31)
13.	測量誤差的組成	(31)
14.	由于附加四端网络的元件制造不精确以及測量仪器不 完善所形成的誤差	(32)
15.	由于輸入信号的非正弦性所引起的誤差	(34)
16.	由于有效振蕩的不稳定性所造成的誤差	(36)
参考文献		(39)

第一章 自激式測量电路

1. 自激式电路的实质

許多测量电路在进行测量时都需要在被测对象的輸入端加入信号。例如，当测量放大器的放大系数时，必須在它的輸入端加上振蕩器的信号，并测量輸出信号的大小。

所采用的、必須有輸入信号振蕩器的测量电路的例子是很多的，而在电子技术和无线电技术中占压倒优势的正是这种电路。

由于有振蕩器而使测量装置稍为复杂的缺点，却因用它进行测量很简单而得到弥补。在实验室条件下应用有振蕩器的电路特別合适，因为这时被测对象的特性通常是不知道的。

在大批生产某种元件时，元件的特性应滿足預先提出的要求，为此需测量元件的参数。在此情况下，宜用專門电路来測試給定型号的元件。由此可見，自激式测量电路是上述方向的具体解决方案之一。

研究图1所示方框图，就很容易明了自激式测量电路的实质。在这电路中，为了在无外加振蕩器条件下激励出給定频率和幅度的自激振蕩（自振），为被测电路（在个别情况下可能是放大器）选配了附加的反饋电路。产生自振的直接原因是电路中各个元件經常产生的噪声。

可以用两种方法測量此电路中的放大器的放大系数，第一种是直接測量輸入与輸出信号，而第二种則是根据已知的或預

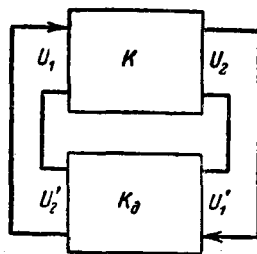


图 1 测量所研究的四端网络的傳輸系数的方框图

先測出的附加反饋電路的衰減利用相應的公式來計算放大系數。

與起類似作用的現用其他電路相比，採用第二種方法能夠大大簡化測量裝置。

除了測量裝置簡化外，應用自激式電路尚可研製出很有價值的高靈敏度橋式電路。

2. 基本關係式

利用振蕩器進行測量時，被測電路的傳輸系數 K_n 的值（在放大器情況下則為放大系數）可按下式計算：

$$K_n = \frac{U_2}{U_1}. \quad (1)$$

利用自激式電路進行測量時，對於幅度和頻率恆定的自振狀態來說，傳輸系數 K_n 的值可按下式計算：

$$K_n = \frac{1}{K_\alpha}, \quad (2)$$

式中， K_α ——附加反饋電路的傳輸系數，它等於：

$$K_\alpha = \frac{U'_2}{U'_1}, \quad (3)$$

而且 $U_1 = U'_1$ 和 $U_2 = U'_2$ 。

3. 穩定自激振蕩區域

自激式測量電路的特點在於，僅在與穩定自振相應的幅度和頻率條件下，才能進行測量。根據運動穩定性的一般理論可知，對自振穩定性的分析歸結為研究具有周期性系數的微分方程。這時，很多有實際價值的課題的解將十分煩瑣。因此，為了解決有關自振穩定性的問題，廣泛採用圖解法。

選配能得到給定頻率的穩定自激振蕩的附加四端網絡並不難。

要建立能提供給定幅度的稳定振蕩的自激式測量电路則是比較复杂的課題，需要專門研究。

如果由于被研究的或附加的四端网路的非綫性作用而使传输系数隨着振蕩幅度的增大而減小，則可實現自振的幅度稳定性条件。

如果已知传输系数表示式对幅度的导数的符号，那么当測出輸入信号幅度时，含有非綫性元件的被測电路传输系数的变化特征也就可以知道了。若輸入信号幅度增大时四端网路传输系数减小，则与此对应的导数为负。因之，如果对于幅度为 $A = A_1$ 的振蕩來說其中一个四端网路的传输系数表示式的导数为负，而另外一个为负或等于零时，则幅度为 A_1 的自振是稳定的。

为了說明，我們來研究被測試电路的传输系数与輸入信号幅度之間的特征关系，并且确定含有这类四端网路的閉合系統的稳定自振区域。

实际上遇到的很多种被測电路，当幅度接近于零时的传输系数最大。随着幅度的增大，传输系数減小。图 2, a 繪出了被研究四端网路的传输系数与輸入信号幅度的关系曲綫。导数与幅度的关系曲綫以虛線画出，全部都是負值。

已指出过，对含有这类特征的被測电路的閉合系統來說，稳定的振蕩将由无穷小的幅度延伸到飽和幅度。在此情况下，普通测量电路与自激式电
路的应用范围相同。

对于传输系数与輸入信号幅度的关系跟图 2 相似的被測电路來說，隨着幅度

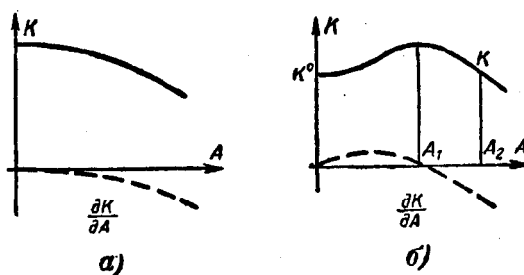


图 2 四端网路传输系数与輸入信号幅度的关系

的加大而由 $A=0$ 时的 K° 值增长到 $A=A_1$ 时的最大值。然后，随着输入信号幅度的加大，传输系数单调地减小，并且当 $A=A_2 \neq 0$ 时通过 K° 值。图 2,6 上的虚线曲线表示导数与输入信号幅度的关系。仅仅在 $A > A_1$ 时导数为负值。由此可见，从 0 到 A_1 的区域对应于非稳定振荡。

应该特别研究幅度由 A_1 到 A_2 的振荡。如果当 $K_n, K_d > 1$ 时由平衡状态产生自振，则随着幅度的增大传输系数也增长，这将促使振荡更急剧地增长。最后，当 $A > A_1$ 时其中一个电路的传输系数开始减小并进入稳定振荡状态。（如果在幅度为 $A > A_2$ 的稳定振荡时传输系数的值减小，则会得到另外一种结果。）在此情况下，在幅度由 A_1 到 A_2 的区域内将产生稳定的自振。由此可见，当 $A = A_1 \neq 0$ 时传输系数为最大值，它的稳定自振的幅度区域位于由 A_1 到 A_{1max} 的范围内。而且，要在由 A_1 到 A_2 的幅度区域内获得稳定自振，只有在 $A > A_2$ 时激励振荡后让附加电路的传输系数平滑地减小的条件下才行。

由此可见，自激式测量电路的应用范围比普通电路的要窄一些，因为在由 0 到 A_1 的幅度区域内不可能得到稳定的自振。要想在由 0 到 A_1 的幅度区域内得到稳定的振荡，必须将附加的非线性元件加进自激闭合系统中去。

第二章 准线性放大器参数的测量

4. 电子管准线性放大器

a) 谐振放大器

谐振放大器的放大系数在信号频率为 f_0 时最大，信号频率 $f \neq f_0$ 时放大系数较小。

頻率為 f_0 的諧振放大器所引起的相移 ψ_y 的數值等於：

$$\psi_y = n_1 \pi (n_1 = 0, 1, 2 \dots). \quad (4)$$

最有實際價值的是測量諧振放大器放大系數的最大值。因此應該用下面這樣的四端網絡作為附加的電路元件，它對頻率為 f_0 的信號所引入的相移等於：

$$\psi_\beta = 2 n_2 \pi - \psi_y (n_2 = 0, 1, 2 \dots). \quad (5)$$

在特殊情況下，當 $n_1 = 2$ 時，可以採用由同類元件組成的分壓器作為附加的四端網絡。例如，對於電壓諧振放大器來說，應當採用電阻分壓器。當 $n_1 = 1$ 時，除了分壓器外，還必須加裝變壓器，使頻率為 f_0 的信號的相位旋轉 180° 。

作為具體例子，我們研究電子管單級放大器放大系數的測量。放大器電路和附加反饋電路示於圖 3。附加電路包括高頻變壓器次級線圈和衰減系數可調的電阻分壓器，在圖 3 中，它們被虛線圍繞（在以後的電路中，附加的反饋電路也都畫在虛線內）。

測量放大系數的步驟如下。將電鍵 K_u 轉至位置 2。改變附加電路分壓器的衰減系數使達到幅度為 A_1 的自振激勵。自振幅度的大小可以利用電子管伏特計測得。在此情況下，諧振放大器的放大系數等於：

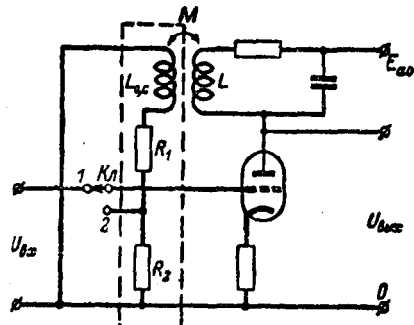


圖 3 測量單級諧振放大器放大系數的電路

$$K_{ye} = \frac{L}{M} \frac{R_1 + R_2}{R_2}, \quad (6)$$

式中 $\frac{L}{M}$ —— 變壓器的變換系數； $\frac{R_1 + R_2}{R_2}$ —— 分壓器的衰減。設量值

L 和 $\frac{R_1 + R_2}{R_2}$ 是已知的。自振频率接近 f_0 ，因而可以不必测量它。但同时应注意到附加电路中寄生电容和电感的影响，它们可能引起相移并使自振频率显著偏离 f_0 。当频率较高时，最好在反馈电路中接入去耦阴极输出器，以减小电阻 R_1 和 R_2 的绝对值。

b) 频带放大器

技术上应用的频带放大器，在由 f_1 至 f_2 的频率范围内（即对应于通带的范围内）具有固定的放大系数。在通带范围以外，放大系数急剧地减小。

在一般情况下，应当选择下面这样的四端网络作为附加元件：它的通带最好小于放大器的通带，而自振频率则取决于附加四端网络的频率特性。然而在某些个别情况下，可以采用宽频带四端网络。在后一种情况下，自振频率等于通带内的一个频率值。

为了更具体起见，我们来研究下面这种电子管型单级频带放大器的放大系数的测量，在这种电子管的板极电路中接有两个电感耦合谐振回路（图 4）。

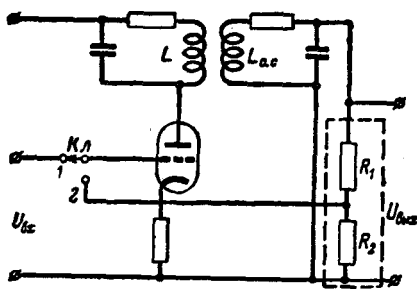


图 4 测量单级频带放大器放大系数的电路和相-频特性（图 5）。根据对这些曲线的分析可以得出结论：当放大器系统中采用宽带反馈的情况下，附加电路可以引起某一频率（例如 f_2 ）的自振。对于频率 f_1 来说，反馈是负的，所以不产生自振。当耦合系数的符号改变后（对调任意一个线圈的两端）将产生频率为 f_1 的自振。

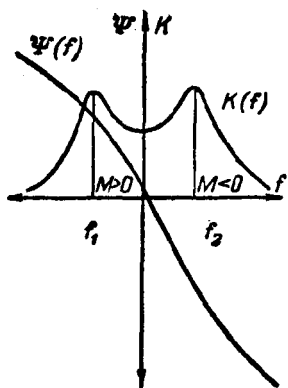


图 5 负载为双耦合谐振迴路的放大器的幅-频与相-频特性

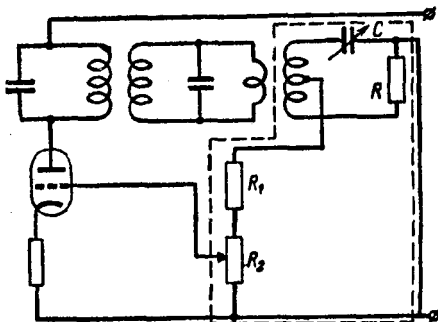


图 6 估计频带放大器放大系数与频率之间的关系的不均匀性所用的电路

图 4 所示电路的測量前面已討論过。

放大系数的值等于：

$$K_{yc} = \frac{R_1 + R_2}{R_2}. \quad (7)$$

自振频率靠近 f_1 或 f_2 。由于频带放大器的放大系数对于频率为 f_1 和 f_2 的信号來說是相近的，所以自振频率的数值是无关紧要的。

在某些情况下我們对不同于 f_1 和 f_2 的频率 f 时的放大系数感到兴趣。在附加电路中接入移相器的条件下，可以利用自激式电路进行这样的测量。图 6 示出放大器电路和具有移相器的附加 RC 电路。用此电路即可測量频率为 f_1 和 f_2 之間时频带放大器的放大系数。移相器的传输系数等于 1:2。放大系数的值等于：

$$K_{yc} = 2 \frac{R_1 + R_2}{R_2}. \quad (8)$$

自振频率可以由波长表測出。当緩緩地重調移相器时，容易确定放大系数在 f_1 到 f_2 频带内的最小值。除了具有双电感耦合谐振迴路

的放大器之外，还可用实验方法研究具有三个或四个电感耦合谐振回路的放大器。

图 7 示出上述放大器的幅-频特性。在同一图上还标出自振频率的值，该自振是在线圈间耦合系数的符号不同时用宽带电路将放

大器输入端与输出端连接起来而得到的。由图 7, a 所示曲线可见，对于频率为 f_1, f_2 和 f_3 的信号来说，放大系数增大。

在 $M > 0$ 条件下接通反馈时，激励出频率为 f_1 的自振，因为对于频率为 f_3 的信号来说，放大系数较小，而当 $M < 0$ 时，则激励出频率为 f_2 的自振。

由图 7, b 所示曲线可见，对于频率为 f_1, f_2, f_3 和 f_4 的信号来说，放大系数增大。在 $M > 0$ 条件下接通反馈时，激励出频率为 f_2 的自振，而当 $M < 0$ 时，则激励出频率为 f_3 的自振。

即使在更多数目的电感耦合谐振回路情况下，亦可得到类似的曲线。

c) 宽带放大器

宽带放大器在很宽的频带内具有与中心频率相同的放大系数。通常对这样的放大器，仅限于测量其频带中心部分，即 f_{op} 频率上的放大系数。

频率为 f_{op} 的输入与输出信号间的相移是不同的，这要看放大器中的级数（每级引起 180° 的相移）而定。

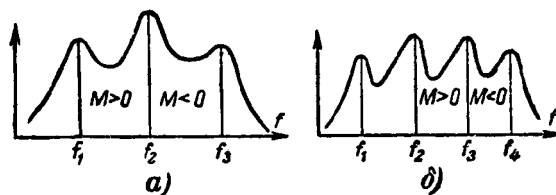


图 7 负载为三个和四个耦合谐振回路的放大器的幅-频特性

在測量級數為偶數和奇數的寬帶放大器的放大系數時，需用電路不同的附加四端網絡。

測量級數為偶數的寬帶放大器的放大系數所採用的附加四端網絡，應使頻率為 f_{cp} 的信號在通過時無相位改變，而頻率 $f \neq f_{cp}$ 的信號通過時則有相移。考慮到上述要求，附加四端網絡應與以前見到的不同，除了電阻外，還應包含電抗（電容器，電感線圈）。

作為例子，我們研究兩級電子管非周期性放大器的放大系數的測量，且設它的附加電路（圖8）包括兩節RC電路和衰減系數可調的分壓器。

放大系數的測量過程與上面討論的類似。

放大器的放大系數按下式計算

$$K_{sc} = 3 \frac{R_1 + R_2}{R_2}, \quad (9)$$

這時假定， $R_1 + R_2 = R_s$ 和 $R_{a2} \ll R_s$ 。

在放大器具有奇數個倒相級的情況下，附加四端網絡應使頻率為 f_{cp} 的信號在通過時改變相位 180° ，而頻率 $f \neq f_{cp}$ 的信號在通過時產生的相移不等於 180° 。

作為例子，我們研究單級電子管非周期性放大器的放大系數的測量，且設它的附加電路（圖9）包括四節RC電路和衰減系數可調的分壓器。應該指出，在附加電路中也可以採用三節RC電路。四節RC電路在 f_{cp} 頻率上造成的衰減比三節RC電路的衰減要小得多。

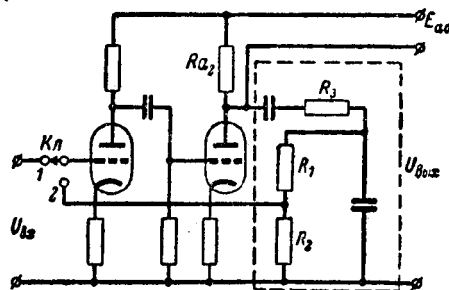


圖8 測量兩級非周期性放大器的放大系數的電路

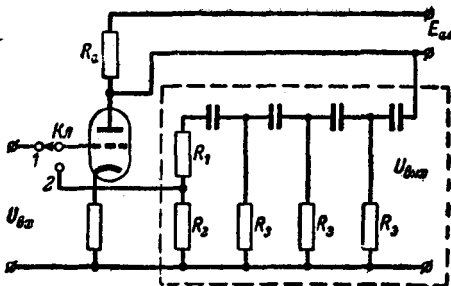


图 9 测量单級非周期性放大器放大系数的电路

放大器的放大系数按下式計算

$$K_{yc} = 18 \frac{R_1 + R_2}{R_2}. \quad (10)$$

这时假定, $R_1 + R_2 = R_3$ 和 $R_a \ll R_3$ 。

5. 行波管准綫性放大器

由于行波管的广泛应用, 因此常提出要測量其放大系数的課題。

行波管是特高頻管, 它利用电子流与电磁場不断相互作用而能在相当寬的頻帶內放大信号。行波管慢波系統的長度为 n 个波長 λ 。 $n\lambda$ 值称之为电气长度。在个别型号的行波管中, n 在 20 到 40 之間。

輸入与輸出信号間的相移是 $\psi_1 + 2n\pi$ 。由于有初始相移, 所以必需有移相器, 使能在整个頻帶內建立相位平衡。

由于行波管和附加电路的电气长度很长, 所以滿足相位平衡条件的频率有 n 个。为了得到給定频率的自振, 在附加电路中应設置品质因数不小于 n 的諧振滤波器。当品质因数小于 n 时, 可能在邻近的某一个频率上自振。由于行波管放大系数与频率間的关系是不

均匀的，滤波器的品质因数的值应加大到(1.5~2)n。

用来测量行波管准线性放大器放大系数的装置的方框图示于图10。

为了补偿初始相移，在同轴通道中可以应用可伸缩线，而且采用具有同轴输入端和输出端的可调空腔谐振器作为谐振滤波器。这样的滤波器在调谐频率上的衰减小于1分贝，品质因数不低于200。

在其中一种装置中，采用以吸收型衰减器为基础的移相器作为波导通路。用爱史卡邦^①薄片（也可以用聚苯乙烯薄片）代替吸收片。当薄片尺寸为 $60 \times 9 \times 3$ 毫米时，对 10×23 的波导来说，移相器在3厘米波段内的相移达 180° 。在 15×35 的波导中，结构类似的移相器（薄片尺寸为 $120 \times 14 \times 10$ 毫米）在工作波长范围内引入的相移达 170° 。也可应用压缩线。

由于对谐振滤波器的品质因数要求比较低（不大于200），可采用由两对安置在波导截面上的感应膜片构成的空腔谐振器作为波导通路。滤波器的调谐频率可以利用装在波导宽壁中心的销钉来改变。滤波器的品质因数可以通过减小膜片间的缝隙宽度来提高。

在3厘米波段时， 10×23 波导中的谐振滤波器的膜片间的距离为22毫米，其缝隙尺寸为5毫米，膜片厚度为1毫米，销钉直径为3毫米。销钉穿过阻流式转换器。当销钉插入深度由0变至9毫米时，可均匀地覆盖 10×23 波导的全部波长范围。

在波长较长时， 15×35 波导中的谐振滤波器的膜片间的距离为

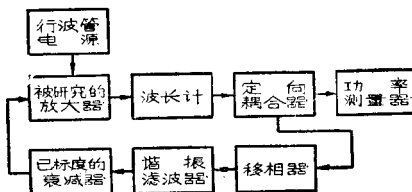


图 10 测量行波管放大系数的方框图

^① 系角状的合成橡胶。

30毫米，其縫隙尺寸为9毫米，膜片的厚度为1毫米，銷釘直径为3毫米。銷釘也穿过阻流式轉換器。为了消除寄生振蕩，波导內壁間的距离（沿着諧振器的寬壁）用黃銅垫块减至29毫米。当銷釘插入深度由0变至14毫米时，可均匀地覆盖 15×35 波导的全部波长范围。

測量就是对移相器引入的相移和衰減器的衰減作这样的挑选，使得放大器輸出端出現規定功率的信号。放大器放大系数的模等于附加电路的衰減，后者的大小主要取决于衰減器的衰減。

当已知附加电路和行波管引綫的电气长度时放大器放大系数的相角大小由計算方法确定。在大多数情况下，不測量相角，这时，裝置中可取消波長計。自振頻率按諧振滤波器的校准曲綫确定。此外，假如不需測量輸出功率，则裝置中可取消定向耦合器和功率測量器。

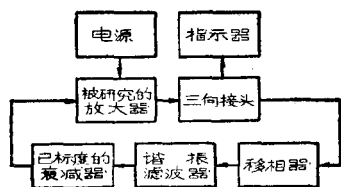


图 11 測量行波管放大系数的模的
简化方框图

行波管寬頻帶放大器放大系数与頻率的关系是不均匀的。逐点繪制这关系是十分費事的。扫頻振蕩器在頻率方面已扩展至100兆赫。感兴趣的常常不是上述关系本身，而是它的不均匀性。在这种情况下，附加四端网络应当包含可調的諧振滤波器。由于当改变頻率时放大器的相移可能变化，因之必須有一个可調的移相器。

图12示出用来測量放大器放大系数与頻率关系的不均匀性的裝置的方框图。电路是基于下列原理工作的。假設在 f_1 至 f_2 的頻帶內被研究放大器的放大系数的最小值为 K_0 。利用衰減器使反饋电路

为了指示附加电路中的振蕩，应当接入三向接头。图11所示为測量行波管放大系数的模的这种簡化裝置的方框图。

行波管寬頻帶放大器放大系数与頻率的关系是不均匀的。逐点繪制这关系是十分費事的。扫頻振蕩